

مجله مخاطرات محیط طبیعی، سال پنجم، شماره دهم، زمستان ۱۳۹۵

تاریخ دریافت مقاله: ۹۳/۱۱/۱۱

تاریخ پذیرش مقاله: ۹۵/۰۹/۳۰

صفحات: ۴۲-۲۵

آشکارسازی خشکسالی‌های هواشناسی و هیدرولوژیکی جنوب شرق دریاچه ارومیه

بهروز ساری صراف^۱، عبدالرضا واعظی هیر^۲، اکرم والائی*^۳، وحیده ابطحی^۴

چکیده

خشکسالی از جمله بلایای طبیعی است که در مقایسه با سایر پدیده‌ها، هم از نظر شدت و فراوانی وقوع و هم از نظر وسعت فضایی و میزان خساراتی که به بار می‌آورد، از اهمیت بیشتری برخوردار است. در این پژوهش دوره‌های متوالی خشکسالی هواشناسی و هیدرولوژیک، با استفاده از شاخص SPI و SDI در حوضه‌های صوفی چای و مردق چای، در جنوب شرق دریاچه ارومیه، بررسی شد و تاخیر زمانی بین وقوع دو خشکسالی مشخص شد. بدین منظور از داده‌های ۱۰ ایستگاه باران‌سنجی و ۷ ایستگاه هیدرومتری استفاده گردید. گستره و پهنی خشکسالی‌ها در محیط ArcGIS بر اساس کمترین خطای میانگین مربعات، به روش کربجینگ و IDW ترسیم و روند خشکسالی‌ها با آزمون‌های منکنال کلاسیک و اصلاح شده بررسی شد. نتایج نشان داد که وقوع دو دوره خشکسالی هواشناسی طولانی مدت و شدید، منجر به وقوع همزمان خشکسالی هیدرولوژیک در این حوضه‌ها شده است. بین خشکسالی هواشناسی و هیدرولوژیک در سطح ۹۹ درصد ارتباط معنی‌دار وجود دارد که این ارتباط به صورت همزمان و سپس با یک ماه تأخیر قوی‌تر است. بر اساس نقشه‌های پهنی بندی خشکسالی، شمال غرب منطقه مورد مطالعه پتانسیل بیشتری از نظر فراوانی و شدت وقوع خشکسالی هواشناسی دارد که در مدیریت منابع آب حائز اهمیت است.

واژگان کلیدی: خشکسالی، شاخص SPI، حوضه صوفی چای، حوضه مردق چای

sarisarraf@tabrizu.ac.ir

r.vaezi@tabrizu.ac.ir

valaei3@yahoo.com

vahideh.abtahi@gmail.com

۱- استاد آب و هواشناسی، دانشگاه تبریز

۲- دانشیار زمین‌شناسی، دانشگاه تبریز

۳- کارشناسی ارشد آب و هواشناسی، دانشگاه تبریز

۴- کارشناسی ارشد آب و هواشناسی، دانشگاه تبریز

مقدمه

تغییرات آب و هوایی یکی از معضلات کنونی جامعه بشری است. این تغییرات مهمی بر رژیمهای هیدرولوژیکی محلی و منطقه‌ای خواهد داشت (دیبیک و کوالیبلی، ۲۰۰۵). از پیامدهای تغییر آب و هوای در مناطق خشک و نیمه خشک که بر کشور ما نیز تأثیر بسزایی داشته، وقوع خشکسالی‌های شدید و پیاپی است که سبب کاهش منابع آب موجود برای مصارف مختلف شده است. خشکسالی را از دیدگاه‌های مختلف به انواع مختلف خشکسالی هواشناسی، هیدرولوژیکی، کشاورزی و اقتصادی و اجتماعی می‌توان دسته‌بندی کرد (صمدی بروجنی و ابراهیمی، ۱۳۸۹). دریاچه ارومیه به عنوان بزرگترین دریاچه دائمی کشور و دومین دریاچه آب شور در جهان می‌باشد ولی اکنون با مسائل و تهدیدات بسیاری روبروست. در طی چند سال اخیر آب این دریاچه به شدت کاهش یافته است. با توجه به اینکه این دریاچه تخلیه‌گاه و مقصد نهایی مجموعه‌ای از رودخانه‌های شمال غرب کشور می‌باشد، کاهش دبی ورودی به دریاچه سهم عمده‌ای را در کاهش سطح آب دریاچه داشته است. هدف از این تحقیق مطالعه و بررسی شدت، تداوم و فراوانی خشکسالی‌های هواشناسی و هیدرولوژیکی وجود یا عدم وجود روند رژیم های بارش و دبی و همچنین تعیین تأخیر زمانی احتمالی وقوع این دو نوع خشکسالی برای مدیریت منابع آب در حوضه صوفی‌چای و مردق‌چای است که از مهمترین زیرحوضه‌های جنوب شرقی دریاچه ارومیه می‌باشد.

سلینجر^۱ و همکاران (۲۰۰۸)، به بررسی افت کنونی سطح آب دریاچه میشیگان و هیورون پرداخته‌اند. آنان معتقد‌ند که افت ناگهانی آب این دریاچه‌ها با بعضی از عناصر تغییرات آب و هوایی مرتبط است. لاکروز و همکاران (۲۰۱۰) تأثیر تغییرات آب و هوایی بر روی منابع آبی موجود در سرچشمه حوضه رودخانه تاگوس در مرکز اسپانیا را با استفاده از شاخص‌های SPI^۲ و SPEI^۳ ارزیابی نمودند. یو و شن^۴ (۲۰۱۰)، به بررسی تأثیر تغییرات آب و هوایی بر روی تغییرات آب چهار دریاچه در چین شمالی پرداخته‌اند. شبیه‌سازی مدل مونت کارلو نشان می‌دهد که سطح دریاچه در محل‌هایی با افزایش بارش، افزایش خواهد یافت. چانگ و جانگ (۲۰۱۱) با بررسی تأثیر تغییرات آب و هوایی بر روی خشکسالی‌های کوتاه مدت هواشناسی در دره‌ی ویلیام افزایش یافته است. تباری و همکاران (۲۰۱۳) فراوانی و شدت خشکسالی‌های هیدرولوژیکی شمال غرب ایران با استفاده از روش SDI^۵ نشان دادند که بیشترین فراوانی با بررسی خشکسالی‌های هیدرولوژیکی شمال غرب ایران با استفاده از روش SPI و SRI^۶ به این نتیجه رسیدند که وقوع خشکسالی هیدرولوژیکی، در طی ۱۲ سال اخیر مورد مطالعه (۱۹۹۷-۲۰۰۸) رخ داده است.

ملکی نژاد و سلیمانی مطلق (۱۳۹۰) خشکسالی‌های حوضه چغاندی را با شاخص‌های SPI و SWI بررسی کردند. نتایج نشان‌گر افزایش شدت و تداوم خشکسالی‌ها در سال‌های اخیر وجود تأخیر زمانی متفاوت ۱ تا ۲ ساله بین وقوع خشکسالی‌های هواشناسی و هیدرولوژیک است که دلیل این مسئله می‌تواند تغییر رژیم بارش و افزایش بوداشت از

^۱ - Sellinger

^۲ - The Standardized Precipitation Index

^۳ - The Standardized Precipitation Evapotranspiration Index

^۴ - Yu and Shen

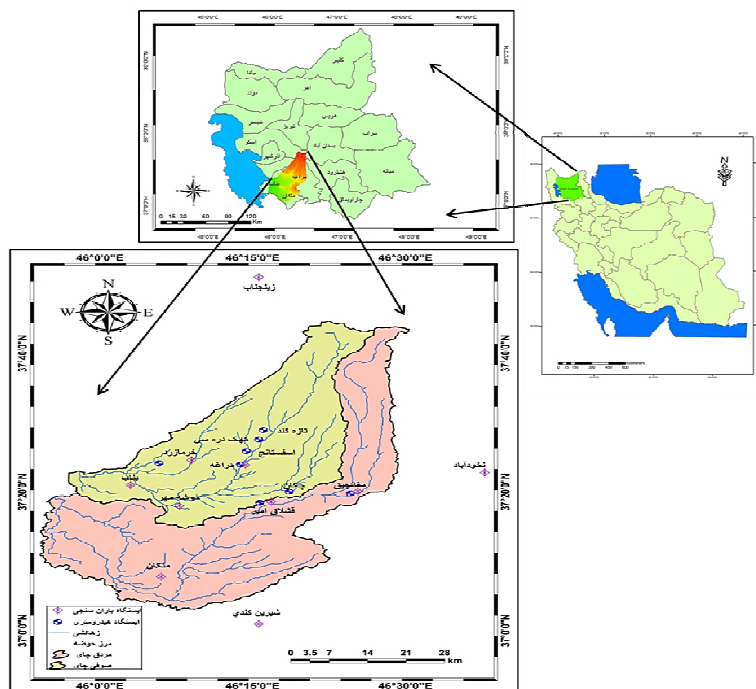
^۵ - Standardized Runoff Index

^۶ - Stream flow Drought Index

منابع سطحی در بالادست حوضه باشد. مفیدی‌پور و همکاران (۱۳۹۱) با پایش خشکسالی هواشناسی و هیدرولوژیکی حوضه اترک با استفاده از شاخص‌های SPI و SDI نشان دادند که همبستگی معنی‌داری بین زمان وقوع خشکسالی هواشناسی و هیدرولوژیکی در این حوضه وجود دارد که این همبستگی به صورت همزمان و یا با یک ماه تاخیر، قوی‌تر می‌باشد. از دیگر مطالعات مربوط به خشکسالی‌ها می‌توان به مطالعات باعقیده و همکاران (۱۳۹۰)، نگارش و کریمی (۱۳۹۰)، بنی‌مهد و خلیلی (۱۳۹۰)، مفیدی‌پور و همکاران (۱۳۹۱) و میرموسوی و کریمی (۱۳۹۲) اشاره نمود که از شاخص SPI استفاده نموده‌اند. بنا به مطالعات صورت گرفته، در رابطه با بررسی خشکسالی‌های هواشناسی و هیدرولوژیکی و تاثیر خشکسالی‌های هواشناسی بر روی خشکسالی هیدرولوژیکی تحقیقات بسیار اندکی به خصوص در مورد دریاچه ارومیه صورت گرفته است. بنابراین تحقیق حاضر تلاشی است تا خلاصه‌ای مطالعاتی در این رابطه را مورد بررسی قرار دهد.

داده‌ها و روش‌ها

منطقه مورد مطالعه شامل حوضه صوفی‌چای با مساحت ۱۰۰/۵ کیلومتر مربع، بین $37^{\circ}-44^{\circ}$ عرض شمالی و $46^{\circ}-30^{\circ}$ طول شرقی و حوضه مردق‌چای با مساحت ۱۲۰/۱ کیلومتر مربع، بین $37^{\circ}-44^{\circ}$ عرض شمالی و $46^{\circ}-30^{\circ}$ طول شرقی قرار گرفته است که هر دو حوضه از دامنه‌های جنوبی کوه سهند سرچشمه می‌گیرند و رودخانه‌های شاخص جنوب شرق دریاچه ارومیه در این حوضه‌ها قرار دارند.



شکل ۱: نقشه موقعیت منطقه مورد مطالعه به همراه پراکنش ایستگاه‌های باران سنجی و هیدرومتری

در این تحقیق از آمار بارندگی ۱۰ ایستگاه باران سنجی طی سال‌های زراعی (۱۳۵۰-۵۱) تا (۱۳۸۸-۸۹) و ۷ ایستگاه هیدرومتری در دو حوضه مذکور از سال زراعی (۱۳۵۰-۵۱) تا (۱۳۸۹-۹۰) استفاده گردید.

در ابتدا جهت باسازی داده‌ها از روش رگرسیون خطی و جهت بررسی همگنی داده‌ها از آزمون توالی^۱ بهره گرفته شده است. جهت تحلیل روند تغییرات عناصر اقلیمی از آزمون من کنдал کلاسیک و اصلاح شده^۲ و برای پایش خشکسالی‌های هواشناسی و هیدرولوژیک، به ترتیب از شاخص‌های خشکسالی SPI و SDI استفاده شد. در نهایت رابطه بین خشکسالی‌ها با آزمون همبستگی پیرسون در تاخیرهای مختلف، مورد آزمون قرار گرفت. در این تحقیق نمایه‌های خشکسالی توسط نرم افزار DIP و آزمون‌های آماری با نرم‌افزارهای SPSS ، Minitab و XIstat و پنهنه بندی نمایه‌های خشکسالی هواشناسی در محیط ArcGIS انجام یافته است.

آزمون روند

چنانچه سری زمانی داده‌های هیدرولوژی و هواشناسی به طور یکنواخت سیر صعودی یا نزولی داشته باشند؛ نشان‌دهنده وجود روند در داده‌های مذکور است (امیدوار و خسروی، ۱۳۸۹). به طور معمول، پایایی یا عدم پایایی خشکسالی‌ها با آزمون من کنдал بررسی می‌شود. در مطالعه حاضر هر سری زمانی قبل از تحلیل روند، از نظر معنی‌داری ضریب خودهمبستگی مرتبه k ام، تست می‌شود به طوری که اگر k معنی‌دار شود از روش من کنдал اصلاح شده و در غیر اینصورت از روش من کنдал مرسوم برای آزمون روند استفاده می‌شود.

آزمون من کنдал مرسوم

این روش برای اولین بار توسط «من» در سال ۱۹۴۵ استفاده شد و «کنдал» در سال ۱۹۷۵ توزیع آماری ناپارامتری این آزمون را بدست آورد. در این روش هر داده (x_i) به ترتیب زمان وقوع، با تمام داده‌های بعد از خود (x_j) مقایسه می‌شود. مراحل انجام این آزمون به ترتیب زیر است (بردی شیخ و همکاران، ۱۳۹۰):

$$s = \sum_{i=1}^{n-1} \sum_{j=i+1}^n sign(x_i - x_j) \quad (1)$$

تابع علامت نیز بر اساس فرمول ۲ قابل محاسبه می‌باشد:

$$sign(x_i - x_j) = \begin{cases} 1 & \text{if } x_i > x_j \\ 0 & \text{if } x_i = x_j \\ -1 & \text{if } x_i < x_j \end{cases} \quad (2)$$

¹ - Run Test

² - modified Mann-Kendall

برای متغیرهای تصادفی مستقل و دارای توزیع یکنواخت و بدون گره (دو یا چندین داده با مقادیر عددی مساوی) میانگین و واریانس پارامتر من-کندال (s) به صورت زیر است:

$$\text{var}(s) = \frac{n(n-1)(2n+5)}{18} \quad (3)$$

که در آن، n: تعداد داده‌های سری مشاهدات است. اگر در سری مشاهدات داده‌های تکراری وجود داشته باشد، مقدار واریانس از رابطه زیر محاسبه خواهد شد:

$$\text{var}(s) = \frac{n(n-1)(2n+5) - \sum_{i=1}^m t(t-1)(2t+5)}{18} \quad (4)$$

به طوری که m معرف تعداد سری‌هایی است که در آن‌ها حداقل یک داده تکراری وجود دارد. t نیز بیانگر فراوانی داده‌های با ارزش یکسان می‌باشد. اگر تعداد داده‌های یک سری بیش از ۱۰ عدد باشد، s از توزیع نرمال پیروی خواهد کرد و مقدار معیار آماری استاندارد (Z_s) به صورت زیر محاسبه خواهد شد:

$$Z_s = \begin{cases} \frac{s-1}{\sqrt{\text{var}(s)}} & \text{if } s > 0 \\ 0 & \text{if } s = 0 \\ \frac{s+1}{\sqrt{\text{var}(s)}} & \text{if } s < 0 \end{cases} \quad (5)$$

بنابراین در یک آزمون دو طرفه برای تشخیص روند در سطح اعتماد a، می‌توان فرض صفر (نبود روند در سری مشاهدات) را رد کرد تنها اگر مقدار Z_s بزرگ‌تر یا مساوی z جدول باشد (حجم و همکاران، ۱۳۸۷).

آزمون من-کندال اصلاح شده (MMK)

اثرات همه ضرایب خودهمبستگی معنی‌دار در این آزمون از سری زمانی حذف می‌شود. برای این کار، ابتدا واریانس اصلاح شده $V(S)^*$ با رابطه ۶ محاسبه می‌شود (میر عباسی، ۱۳۸۹):

$$V(S)^* = \text{Var}(S) \frac{n}{n^*} \quad (6)$$

که $\frac{n}{n^*}$ از رابطه ۷ بدست می‌آید:

$$\frac{n}{n^*} = 1 + \frac{2}{n(n-1)(n-2)} \sum_{j=1}^{n-1} (n-j)(n-j-1)(n-j-2)r_j \quad (7)$$

که در آن r_j ضرایب خودهمبستگی با تأخیر j و $\text{Var}(S)$ از رابطه ۴ تخمین زده می‌شود.

شاخص بارش استاندار شده (SPI)

این شاخص مناسب‌ترین نمایه برای تحلیل خشکسالی و همچنین ترسالی به ویژه تحلیل‌های مکانی شناخته می‌شود (رضیئی و همکاران، ۱۳۸۶). مقادیر مثبت آن بیانگر بارش بیشتر از مقدار متوسط و مقادیر منفی بیانگر بارش کمتر از مقدار متوسط بارش می‌باشد (ساری، ۱۳۹۰). در ابتدا سری‌های زمانی اقلیمی بارندگی با توزیع گاما برازش داده شد و سپس با انتقال هم احتمال توزیع تجمعی گاما به توزیع نرمال، مقادیر SPI حاصل شد.تابع چگالی احتمال گاما به صورت زیر نوشته می‌شود (Edwards and McKee, 1997)

$$G(x) = \frac{1}{\beta^\alpha \Gamma(\alpha)} x^{\alpha-1} e^{-x/\beta} \quad x > 0 \quad (8)$$

در اینجا α پارامتر مقیاس؛ X مقدار بارش بر حسب میلی‌متر و $\Gamma(\alpha)$ تابع گاما است. برای برآورد پارامترهای α و β استفاده از بیشینه درست نمایی را پیشنهاد کرده‌اند که به شکل رابطه‌های ۹ و ۱۰ تعریف می‌شوند:

$$\alpha = \frac{1}{4A} \left[1 + \sqrt{1 + \frac{4A}{3}} \right] \quad (9)$$

$$\beta = \frac{\bar{x}}{\alpha} \quad (10)$$

که در آن مقدار A از رابطه ۱۱ بدست می‌آید که در آن n تعداد مشاهداتی که در آن بارندگی روی داده و \bar{x} میانگین بارندگی بازه زمانی مورد مطالعه (ماهانه، سه ماهه...) می‌باشد.

$$A = \ln(\bar{x}) - \frac{\sum \ln(x)}{n} \quad (11)$$

حال با استفاده از پارامترهای برآورد شده در رابطه‌های بالا و با فرض $\beta/x = t$ ، می‌توان احتمال تجمعی بارندگی در مقیاس مورد نظر برای هر ایستگاه را به شکل تابع گاما ناقص با رابطه زیر بدست آورد:

$$G(x) = \frac{1}{\Gamma(\alpha)} \int_0^x t^{\alpha-1} e^{-t} dt \quad (12)$$

تابع احتمال تجمعی که در برگیرنده مقادیر صفر هم باشد به صورت رابطه ۱۳ تعریف می‌شود:

$$H(x) = q + (1-q)G(x) \quad (13)$$

در این رابطه q ، برابر با احتمال مقادیر بارندگی صفر است. در صورتی که M تعداد مقادیر صفر در یک سری زمانی بارش باشد، Q را می‌توان از طریق رابطه زیر برآورد نمود:

$$q = \frac{m}{n} \quad (14)$$

با استفاده از رابطه ۱۵ و ۱۶ به توزیع نرمال استاندارد با میانگین صفر و انحراف معیار یک انتقال داده می‌شود که این مقدار همان شاخص SPI است.

$$Z = SPI = - \left[t - \frac{c_0 + c_1 t + c_2 t^2}{1 + d_1 t + d_2 t^2 + d_3 t^3} \right] \quad 0 < H(x) \leq 0.5 \quad (15)$$

$$Z = SPI = + \left[t - \frac{c_0 + c_1 t + c_2 t^2}{1 + d_1 t + d_2 t^2 + d_3 t^3} \right] \quad 0.5 < H(x) < 1 \quad (16)$$

در اینجا

$$t = \sqrt{\ln \left[\frac{1}{(H(x))^2} \right]} \quad 0 < H(x) \leq 0.5 \quad (17)$$

$$t = \sqrt{\ln \left[\frac{1}{(1 - H(x))^2} \right]} \quad 0.5 < H(x) < 1.0 \quad (18)$$

و ضرایب مربوط برابر با

$$c_0 = 2.515517 \quad c_1 = 0.802853 \quad c_2 = 0.010328 \quad (19)$$

$$d_1 = 1.432788 \quad d_2 = 0.189269 \quad d_3 = 0.001308 \quad (20)$$

بدین ترتیب SPI نمره Z و یا مقدار انحرافات استاندارد بالاتر و پایین‌تر از میانگین را نشان می‌دهد.

شاخص خشکسالی جریان‌های رودخانه‌ای (SDI)

شاخص خشکسالی SDI، مشابه نمایه SPI می‌باشد؛ با این تفاوت که در آن به جای متغیر بارش از مقادیر جریان رودخانه استفاده شده است (مفیدی‌پور و همکاران، ۱۳۹۱). در جدول ۱ مقادیر SPI و SDI و شدت‌های مختلف خشکسالی ارائه شده است.

جدول ۱: طبقه‌بندی مقادیر SPI و SDI

وضعیت خشکسالی	SDI مقدار (مفیدی‌پور و همکاران، ۱۳۹۱)	وضعیت خشکسالی	SPI مقدار (مک کی و همکاران، ۱۹۹۵)
فاقد خشکسالی	SDI \geq ۰	ترسالی بسیار شدید	SPI \geq +۲
خشکسالی ملایم	-۱ تا ۰	ترسالی شدید	۱/۹۹ تا ۱/۵
خشکسالی متوسط	-۱/۵ تا -۱	ترسالی ملایم	۱/۴۹ تا ۱
خشکسالی شدید	-۲ تا -۱/۵	نزدیک نرمال	۰/۹۹ تا ۰
خشکسالی خیلی شدید	SDI <-2	خشکسالی ملایم	-۱/۴۹ تا -۱
		خشکسالی شدید	-۱/۹۹ تا -۱/۵
		خشکسالی بسیار شدید	SPI ≤ -2

در این مطالعه برای ارزیابی و پایش خشکسالی‌های کوتاه مدت، از SPI و SDI ۳ ماهه و برای پایش دوره‌های بلند مدت از SPI و SDI ۱۲ ماهه استفاده شده است. جهت بررسی اثر خشکسالی هواشناسی بر جریان‌های سطحی ابتدا

به جستجوی نظم زمانی کمبود آب و در واقع تأخیر زمانی در ایستگاه‌های هیدرومتری پرداخته شد. بدین منظور ارتباط مقادیر SPI با SDI در بازه زمانی ۳ و ۱۲ ماهه، به طور همزمان و در تأخیرهای ۱ تا ۶ ماهه با استفاده از ضریب همبستگی پیرسون مورد بررسی قرار گرفت.

نتایج و بحث

تعیین روند خشکسالی‌ها با آزمونهای من کندال کلاسیک و اصلاح شده

از آزمون من کندال که متداول ترین آزمون ناپارامتری بررسی روند داده‌های هواشناسی و هیدرولوژی است، در مقیاس ماهانه و سالانه برای متغیرهای بارش و دبی متوسط حوضه‌های مورد مطالعه استفاده شد. مقادیر آماره من کندال برای سری داده‌های دبی متوسط (جدول ۲) نشان می‌دهند که در مقیاس ماهانه در سطح ۹۵ درصد، در حوضه صوفی چای ۷۲/۲۲٪ و حوضه مردق چای ۷۵٪ داده‌ها و در سطح ۹۹ درصد نیز، حوضه صوفی چای با ۴۵/۸۳ درصد و حوضه مردق چای با ۶۲/۵ درصد روند کاهشی معنی‌دار را نشان می‌دهند. بطور کلی در دو حوضه، تمامی روندهای معنی‌دار به صورت کاهشی می‌باشند که در این بین بیشترین میزان روند نزولی در ماههای گرم سال رخ داده است. در مقیاس سالانه نیز در سطح ۹۵ درصد، در هر دو حوضه مورد مطالعه ۵۰٪ داده‌ها روند نزولی معنی‌دار را نشان می‌دهند؛ در حالی که در سطح ۹۹ درصد، در حوضه مردق چای، ۵۰٪ داده‌ها روند معنی‌دار کاهشی داشته است و در حوضه صوفی چای تمامی داده‌ها فاقد روند ارزیابی می‌شوند. بنابراین در مقیاس ماهانه و سالانه هیچ ایستگاهی روند صعودی معنی‌داری را تجربه نکرده است.

جدول ۲: مقادیر آماره من کندال (z) پس از حذف اثر ضرایب خودهمبستگی معنی‌دار برای سری داده‌های دبی متوسط

ایستگاه زمان	اسفستانج	تازه‌کند	چکان	خرمازرد	قشلاق‌امیر	کهليک‌دره سی	مراغه	معانجيق
مهر	-۳/۲۹★★	-۲/۱۸★	-۲/۲۹★	-۲/۱۸★	-۳/۶۵★★	-۱/۳۵	-۴/۱۹★★	-۴/۱۹★★
آبان	-۲/۰۳★	-۲/۷۷★★	-۳/۷۹★★	-۲/۵۸★★	-۳/۸۴★★	-۱/۴۱	-۱/۴۱	-۱/۴۱
آذر	-۳/۰۴★★	-۱/۴۳	-۱/۴۳	-۲/۹۲★★	-۲/۸۸★★	-۳/۱۱★★	-۰/۸۹	-۰/۸۹
دی	-۲/۵۷★	-۰/۱۱	-۰/۱۱	-۲/۰۱★	-۲/۸۸★★	-۳/۰۸★★	-۴/۶۷★★	-۴/۶۷★★
بهمن	-۳/۱۲★★	-۱/۵۴	-۱/۵۴	-۳/۰۶★★	-۳/۹۳★★	-۰/۴۱	-۰/۸۶	-۰/۸۶
اسفند	-۱/۸۶	۱/۵۱	۱/۵۱	۰/۰۳	-۱/۹۸★	-۲/۰۴★	-۰/۳۱	-۰/۳۱
فروردین	-۲/۶۴★★	-۱/۹۰	-۱/۹۰	-۲/۴۸★	-۲/۹۷★★	-۲/۵۷★	-۵/۲۹★★	-۵/۲۹★★
اردیبهشت	-۲/۲۸★	-۱/۰۲	-۱/۰۲	-۰/۷۶	-۲/۰۵★	-۲/۱۸★	-۳/۱۸★★	-۳/۱۸★★
خرداد	-۲/۸۸★★	-۲/۹۶★★	-۲/۹۶★★	-۲/۳۲★	-۲/۷۶★★	-۲/۰۶★	-۷/۹۵★★	-۷/۹۵★★
تیر	-۶/۵۶★★	-۲/۷۷★★	-۴/۲۱★★	-۲/۱۶★	-۴/۰۹★★	-۴/۰۴★★	-۲/۳۰★	-۴/۰۴★★
مرداد	-۱۰/۱۱★★	-۰/۲۶	-۰/۲۶	-۴/۷۹★★	-۷/۰۰★★	-۰/۰۵۸	-۴/۷۹★★	-۴/۷۹★★
شهریور	-۰/۰۲۶	-۰/۲۶	-۳/۷۴★★	-۴/۲۵★★	-۲/۵۹★★	-۱/۶۰	-۲/۲۱★	-۳/۱۹★★
سال	-۲/۲۲★	-۱/۸۸	-۱/۸۸	-۲/۱۱★	-۱/۶۳	-۲/۵۷★	-۰/۶۱	-۴/۴۳★★

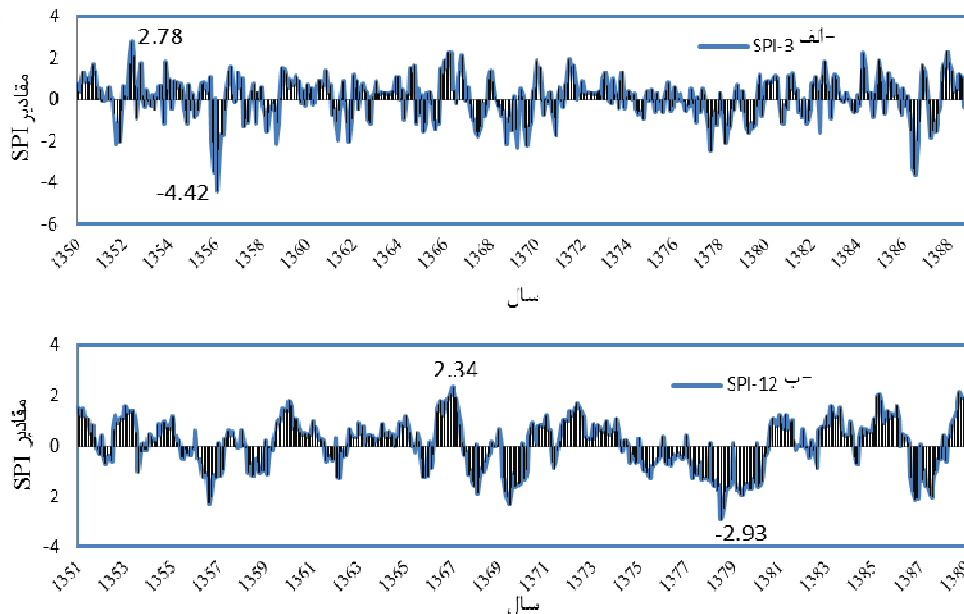
★: معنی‌دار در سطح ۹۵ درصد

★★: معنی‌دار در سطح ۹۹ درصد

نتایج این آزمون برای سری‌های بارش ماهانه نشان می‌دهند که در صد زیادی از داده‌ها فاقد روند معنی‌دار می‌باشند و در سری‌هایی هم که معنی‌دار می‌باشند، روندهای متفاوت صعودی و نزولی در ایستگاه‌ها دیده می‌شود. در سری داده‌های سالانه نیز، هیچ کدام از داده‌ها معنی‌دار نیستند. بنابراین با توجه به ناکافی بودن تعداد سری‌های دارای روند معنی‌دار نسبت به سری‌های فاقد روند، نمی‌توان روند مشخصی را بر بارندگی منطقه نسبت داد و بارش منطقه مورد مطالعه دارای نوسانات کاهشی و افزایشی در طول سری زمانی مورد مطالعه بوده است.

وضعیت خشکسالی‌های هواشناسی حوضه صوفی چای و مردق چای

شاخص SPI جهت بررسی خشکسالی‌های کوتاه مدت و بلند مدت، برای حوضه‌های مورد مطالعه در بازه‌های زمانی ۳ و ۱۲ ماهه محاسبه شد. به عنوان نمونه در ایستگاه مراغه (شکل ۲) بر طبق مقادیر SPI در بازه زمانی سه ماهه خشکسالی‌های روی داده ۱۹۷ مورد می‌باشد و شدیدترین خشکسالی کوتاه‌مدت در این ایستگاه با مقدار $-4/42$ در دی ماه ۱۳۵۶ مشاهده شده و تا ۴ ماه تداوم داشته است. طولانی‌ترین تداوم خشکسالی نیز، مربوط به دی ۱۳۶۷ می‌باشد که ۱۰ ماه ادامه داشته است.



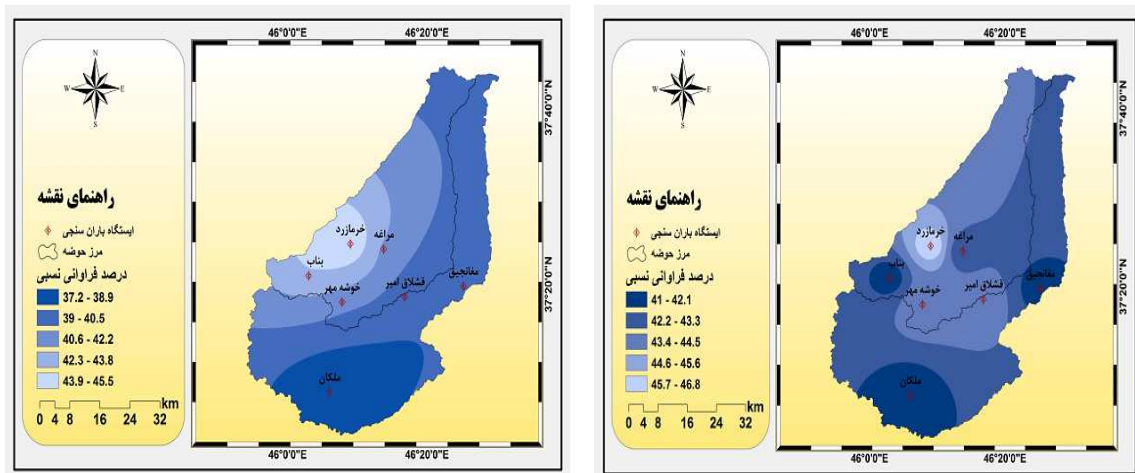
شکل ۲: نمودار وضعیت تراسالی‌ها و خشکسالی‌های هواشناسی ایستگاه مراغه در بازه‌های زمانی (الف) ۳ ماهه و (ب) ۱۲ ماهه

فراوانی خشکسالی‌های هواشناسی با استفاده از شاخص SPI در مقیاس ۳ و ۱۲ در جدول ۳ و گستره فراوانی نسبی خشکسالی‌ها به صورت درصد نیز در اشکال ۳ و ۴ ارائه گردیده است. در هر دو مقیاس زمانی بیشترین فراوانی وقوع خشکسالی در شمال غرب و سپس مرکز منطقه مورد مطالعه می‌باشد. جنوب منطقه نیز دارای کمترین فراوانی وقوع

خشکسالی می‌باشد. بر این اساس شمال غرب منطقه، بویژه ایستگاه خرمازد و بناب که پست‌ترین ناحیه منطقه مورد مطالعه را شامل می‌شوند، از نظر وقوع خشکسالی فراوانی بیشتری را نشان می‌دهند.

جدول ۳: فراوانی خشکسالی‌های هواشناسی روی داده در مقیاس ۳ و ۱۲ ماهه

درصد فراوانی نسبی		فراوانی مطلق		ایستگاه
ماهه ۱۲	ماهه ۳	ماهه ۱۲	ماهه ۳	
۴۳/۵۴	۴۱/۴۲	۱۹۹	۱۹۳	بناب
۴۵/۵۱	۴۶/۷۸	۲۰۸	۲۱۸	خرمازد
۴۱/۱۴	۴۴/۴۲	۱۸۸	۲۰۷	خوشه مهر
۴۵/۵۱	۴۳/۹۹	۲۰۸	۲۰۵	زینجناب
۵۲/۳۰	۴۷/۸۵	۲۳۹	۲۲۳	شیرین‌کندي
۳۹/۶۱	۴۴/۲۱	۱۸۱	۲۰۶	قشلاق‌امير
۴۱/۷۹	۴۲/۲۷	۱۹۱	۱۹۷	مراغه
۳۹/۱۷	۴۱/۴۲	۱۷۹	۱۹۳	معانجيق
۳۷/۲۰	۴۰/۹۹	۱۷۰	۱۹۱	ملakan
۴۱/۱۴	۴۵/۲۸	۱۸۸	۲۱۱	نخودآباد



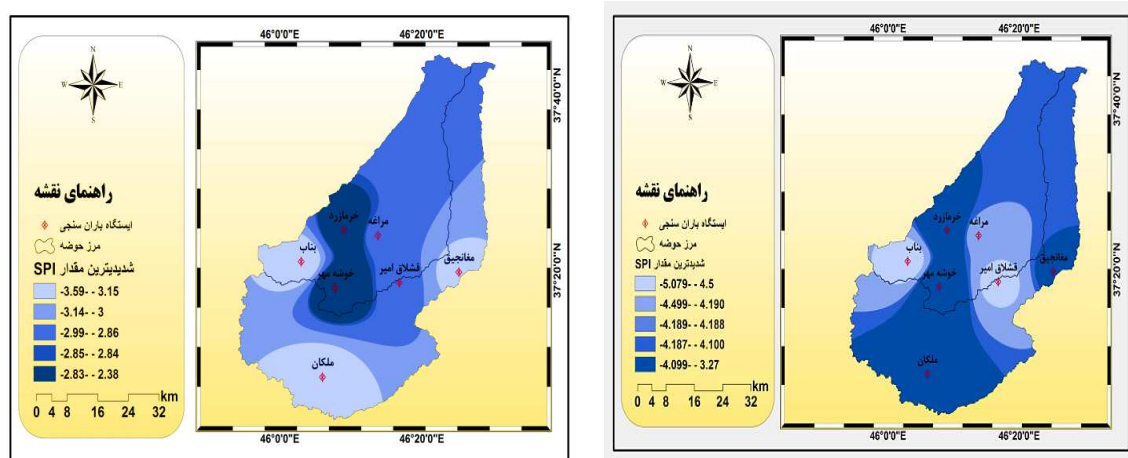
شکل ۳: گستره درصد فراوانی نسبی خشکسالی‌ها در مقیاس زمانی ۳ ماهه

شدیدترین خشکسالی‌های هواشناسی روی داده در منطقه بر اساس شاخص SPI در مقیاس زمانی ۳ و ۱۲ ماهه، در جدول ۴ و گستره شدیدترین مقدار مشاهده شده نیز در اشکال ۵ و ۶ ارائه گردیده است. شدیدترین خشکسالی هواشناسی در مقیاس ۳ ماهه در ایستگاه بناب و در سال ۱۳۶۴ اتفاق افتاده است؛ اما در بررسی کلی شدیدترین

خشکسالی‌های روی داده در منطقه در سال ۱۳۸۷ می‌باشد که از دی ماه سال قبل از آن آغاز شده و ۷ ماه ادامه داشته است. در مقیاس زمانی ۱۲ ماهه نیز، ایستگاه بناب در سال ۱۳۶۴ دارای کمترین مقدار SPI بوده است. در این مقیاس نیز، شدیدترین خشکسالی در منطقه بطرکلی در سال ۱۳۸۷ روی داده که از آبان سال ۱۳۸۶ آغاز شده و حدود ۹ ماه تداوم داشته است. در مقیاس زمانی ۳ ماهه، شمال غرب و جنوب منطقه شدیدترین خشکسالی‌ها را تجربه کرده‌اند؛ در حالی‌که در مقیاس زمانی ۱۲ ماهه، شمال غرب و شمال منطقه دارای شدیدترین مقدار می‌باشد اما در هر دو مقیاس زمانی، شمال غرب منطقه به صورت مشترک شدیدترین خشکسالی‌ها را نشان می‌دهند.

جدول ۴: شدیدترین مقدار مشاهده شده SPI در مقیاس ۳ و ۱۲ ماهه

تدابع(ماه)		زمان شروع		شدیدترین زمان		مقادیر SPI		ایستگاه
۱۲ ماهه	۳ ماهه	۱۲ ماهه	۳ ماهه	۱۲ ماهه	۳ ماهه	۱۲ ماهه	۳ ماهه	
۸	۷	۱۳۶۳ آذر	۱۳۶۳ دی	۱۳۶۴ تیر	۱۳۶۴ فروردین	-۳/۵۹	-۵/۰۸	بناب
۹	۷	۱۳۸۶ آبان	۱۳۸۶ دی	۱۳۸۷ خرداد	۱۳۸۷ خرداد	-۲/۵۷	-۳/۴۳	خرمازرد
۱۰	۸	۱۳۶۸ مهر	۱۳۶۸ دی	۱۳۶۸ مهر	۱۳۶۸ خرداد	-۲/۳۸	-۳/۲۷	خوشه مهر
۱۰	۱	۱۳۶۹ مهر	۱۳۸۳ مهر	۱۳۶۹ آبان	۱۳۸۳ مهر	-۲/۳۸	-۳/۰۵	زینجناب
۱۰	۱۰	۱۳۷۸ مهر	۱۳۷۷ دی	۱۳۷۸ دی	۱۳۷۸ تیر	-۳	-۳/۶	شیرین‌کنندی
۹	۱۰	۱۳۸۶ آبان	۱۳۵۱ دی	۱۳۸۷ اردیبهشت	۱۳۵۱ دی	-۲/۹۲	-۴/۸۷	قشلاق‌امیر
۱۰	۴	۱۳۷۸ مهر	۱۳۵۶ دی	۱۳۷۸ اسفند	۱۳۵۶ دی	-۲/۹۳	-۴/۴۲	مراغه
۹	۷	۱۳۸۶ آبان	۱۳۷۸ فروردین	۱۳۸۷ خرداد	۱۳۷۸ تیر	-۲/۳	-۳/۹۳	مغانجیق
۱۰	۱۰	۱۳۷۹ مهر	۱۳۷۹ دی	۱۳۷۹ اسفند	۱۳۷۹ خرداد	-۳/۴۴	-۳/۸۵	ملکان
۱۰	۷	۱۳۷۸ مهر	۱۳۸۶ دی	۱۳۷۹ فروردین	۱۳۸۷ خرداد	-۲/۶۸	-۳/۴۲	نخودآباد



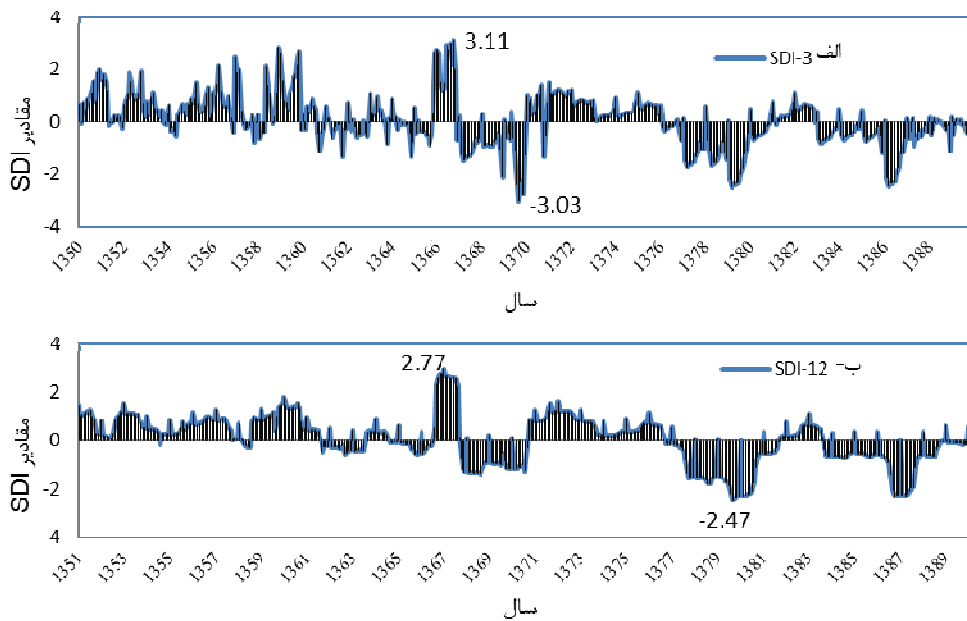
شکل ۶: گسترده شدیدترین خشکسالی‌ها در مقیاس زمانی ۳ ماهه

شکل ۵: گسترده شدیدترین خشکسالی‌ها در مقیاس زمانی ۱۲ ماهه

مقادیر بدست آمده از شاخص SPI نشان می‌دهد که بطور مشترک دوره طولانی مدت خشکسالی هواشناسی در منطقه مورد بحث در سال‌های ۱۳۷۶-۷۹ و ۱۳۸۶-۸۹ بوده است که شدیدترین خشکسالی‌های روی داده در منطقه نیز در همین دو بازه زمانی قرار گرفته است.

وضعیت خشکسالی‌های هیدرولوژیکی آب‌های سطحی

مقادیر بدست آمده از شاخص SDI به عنوان نمونه در ایستگاه مراغه (شکل ۷) نشان می‌دهد که از مجموع ۴۷۸ ماه مورد مطالعه در بازه زمانی ۳ ماهه، ۲۱۸ ماه با خشکسالی هیدرولوژیکی مواجه بوده است که در مردادماه ۱۳۷۰ آب سطحی به شدت کاهش یافته است و مقدار SDI آن به -3.03 رسیده و تا ۶ ماه به طول انجامیده است. در مقیاس ۱۲ ماهه نیز، از مجموع ۴۶۹ ماه، تعداد خشکسالی‌های آب سطحی ۲۱۸ ماه می‌باشد. شدیدترین خشکسالی مشاهده شده، در اردیبهشت ۱۳۸۰ با مقدار -2.47 ، از مهرماه ۱۳۷۰ شروع شده و ۱۲ ماه تداوم یافته است. طولانی‌ترین خشکسالی هیدرولوژیکی در این ایستگاه در هر دو بازه زمانی، در سال‌های ۷۷-۸۲ روی داده است.



شکل ۷: نمودار وضعیت ترسالی‌ها و خشکسالی‌های هیدرولوژیکی ایستگاه مراغه در بازه‌های زمانی (الف) ۳ ماهه و (ب) ۱۲ ماهه

خصوصیات خشکسالی‌های هیدرولوژیکی برای تمامی ایستگاه‌های مورد مطالعه در بازه‌های زمانی ۳ و ۱۲ ماهه، مورد بررسی قرار گرفته و در جداول ۵ و ۶ آرائه شده است.

از نظر فراوانی وقوع، ایستگاه کهليک دره‌سی بيشترین مقدار و از نظر شدیدترین خشکسالی روی داده نیز ایستگاه چکان، كمترین مقدار SDI را در هر دو مقیاس زمانی مورد مطالعه نشان می‌دهند. در رابطه با طولانی‌ترین تداوم

خشکسالی هیدرولوژیکی نیز، دو دوره خشکسالی در طی سال‌های ۱۳۷۷-۸۰ و ۱۳۸۶-۹۰ روی داده است که شدیدترین خشکسالی‌های هیدرولوژیکی نیز در همین دو بازه زمانی بوده است.

جدول ۵: فراوانی خشکسالی‌های هیدرولوژیکی در مقیاس ۳ و ۱۲ ماهه

درصد فراوانی مطلق		فراوانی مطلق		ایستگاه
ماهه ۱۲	ماهه ۳	ماهه ۱۲	ماهه ۳	
۴۶/۷۰	۴۸/۷۴	۲۱۹	۲۳۳	اسفستانج
۴۶/۹۱	۴۵/۱۹	۲۲۰	۲۱۶	تازه کند
۴۵/۸۵	۴۷/۰۷	۲۱۵	۲۲۵	چکان
۴۴/۳۵	۴۴/۳۵	۲۰۸	۲۱۲	خرمازرد
۳۸/۵۹	۴۰/۳۸	۱۸۱	۱۹۳	قشلاق امیر
۵۰/۷۵	۵۵/۲۳	۲۳۸	۲۶۴	کهليک دره سی
۴۳/۷۱	۴۵/۶۱	۲۰۵	۲۱۸	مراغه
۴۶/۷۰	۵۱/۰۵	۲۱۹	۲۴۴	مغانجیق

جدول ۶: شدیدترین مقدار مشاهده شده SDI در مقیاس ۳ و ۱۲ ماهه

تداوم(ماه)		زمان شروع		شدیدترین زمان		SDI مقادیر		ایستگاه
ماهه ۱۲	ماهه ۳	ماهه ۱۲	ماهه ۳	ماهه ۱۲	ماهه ۳	ماهه ۱۲	ماهه ۳	
۱۲	۸	۱۳۸۹	مهر	۱۳۸۹	دی	۱۳۸۹	اسفند	-۱/۹۲
۱۲	۲	۱۳۸۷	مهر	۱۳۷۱	بهمن	۱۳۸۸	فروردين	-۲/۵۸
تازه کند								
۱۰	۳	۱۳۸۷	مهر	۱۳۸۹	دی	۱۳۸۷	دی	-۲/۶۳
۱۲	۱۰	۱۳۷۹	مهر	۱۳۷۹	دی	۱۳۸۰	اردیبهشت	-۲/۸
۱۲	۳	۱۳۸۸	مهر	۱۳۸۹	دی	۱۳۸۸	دی	-۲/۵۴
۱۲	۱۰	۱۳۸۰	مهر	۱۳۶۹	دی	۱۳۸۰	اسفند	-۱/۳۷
۱۲	۶	۱۳۷۹	مهر	۱۳۷۰	اردیبهشت	۱۳۸۰	مرداد	-۲/۴۷
۱۲	۸	۱۳۸۷	مهر	۱۳۶۹	دی	۱۳۸۷	اسفند	-۲/۴۳
مغانجیق								
چکان								
خرمازرد								
قشلاق امیر								
کهليک دره سی								
مراغه								

اثرات خشکسالی هواشناسی بر روی خشکسالی هیدرولوژیکی

به منظور بررسی تأثیر خشکسالی‌های هواشناسی بر روی خشکسالی‌های هیدرولوژیکی، ماتریس همبستگی بین SPI و SDI بصورت همزمان و تا ۶ ماه تاخیر محاسبه شده است که در جداول ۷-۱۰ به صورت همزمان و تاخیر یک ماهه بعنوان نمونه ارائه شده است.

جدول ۷: ماتریس ضریب همبستگی پیرسون بین شاخص SPI و SDI در بازه زمانی ۳ ماهه به صورت همزمان

ایستگاه	چکان	اسفستانج	رشاق امیر	کهله کاره	خرمازرد	مراغه	معانجیق	تازه کند
بناب	۰/۳۳**	۰/۳۰**	۰/۳۱**	۰/۲۱**	۰/۲۳**	۰/۲۷**	۰/۲۷**	۰/۱۸**
خرمازرد	۰/۲۹**	۰/۳۵**	۰/۴۱**	۰/۲۳**	۰/۴۱**	۰/۳۳**	۰/۳۳**	۰/۳۱**
خوشه مهر	۰/۳۳**	۰/۳۴**	۰/۳۴**	۰/۲۳**	۰/۲۶**	۰/۲۹**	۰/۳۷**	۰/۱۸**
زینجناب	۰/۲۴**	۰/۲۷**	۰/۲۰**	۰/۱۶**	۰/۲۳**	۰/۲۳**	۰/۲۳**	۰/۱۸**
شیرین‌کندی	۰/۲۹**	۰/۳۲**	۰/۳۲**	۰/۲۱**	۰/۲۹**	۰/۳۹**	۰/۲۸**	۰/۱۹**
رشاق امیر	۰/۳۰**	۰/۳۰**	۰/۳۷**	۰/۲۴**	۰/۲۶**	۰/۳۳**	۰/۳۳**	۰/۲۰**
مراغه	۰/۳۵**	۰/۳۳**	۰/۲۱**	۰/۲۱**	۰/۳۹**	۰/۲۷**	۰/۲۷**	۰/۲۱**
معانجیق	۰/۴۲**	۰/۳۸**	۰/۳۸**	۰/۲۲**	۰/۳۰**	۰/۳۰**	۰/۳۳**	۰/۲۰**
ملکان	۰/۲۶**	۰/۳۷**	۰/۴۸**	۰/۳۳**	۰/۴۰**	۰/۵۳**	۰/۴۰**	۰/۲۷**
نخودآباد	۰/۴۰**	۰/۳۷**	۰/۳۹**	۰/۲۶**	۰/۲۶**	۰/۴۲**	۰/۳۴**	۰/۲۵**

**: معنی داری در سطح ۹۹ درصد

جدول ۸: ماتریس ضریب همبستگی پیرسون بین شاخص SPI و SDI در بازه زمانی ۳ ماهه با تأخیر یک ماهه

ایستگاه	چکان	اسفستانج	رشاق امیر	کهله کاره	خرمازرد	مراغه	معانجیق	تازه کند
بناب	۰/۲۵**	۰/۲۲**	۰/۲۵**	۰/۱۰*	۰/۱۴**	۰/۲۵**	۰/۲۱**	۰/۱۱*
خرمازرد	۰/۱۸**	۰/۲۹**	۰/۲۶**	۰/۲۰**	۰/۲۷**	۰/۳۵**	۰/۲۶**	۰/۲۵**
خوشه مهر	۰/۲۲**	۰/۲۴**	۰/۲۶**	۰/۱۵**	۰/۲۰**	۰/۳۳**	۰/۳۰**	۰/۱۴**
زینجناب	۰/۱۷**	۰/۱۸**	۰/۱۴**	۰/۱۰*	۰/۱۶**	۰/۱۲**	۰/۱۲**	۰/۱۳**
شیرین‌کندی	۰/۲۲**	۰/۲۲**	۰/۲۷**	۰/۱۴**	۰/۲۲**	۰/۲۹**	۰/۲۵**	۰/۱۴**
رشاق امیر	۰/۲۱**	۰/۱۹**	۰/۲۰**	۰/۱۸**	۰/۲۸**	۰/۲۶**	۰/۲۶**	۰/۱۵**
مراغه	۰/۲۸**	۰/۲۵**	۰/۲۷**	۰/۱۸**	۰/۲۰**	۰/۳۰**	۰/۳۰**	۰/۱۷**
معانجیق	۰/۳۳**	۰/۲۸**	۰/۲۱**	۰/۱۴**	۰/۲۲**	۰/۳۵**	۰/۳۵**	۰/۱۳**
ملکان	۰/۱۶**	۰/۲۹**	۰/۲۲**	۰/۲۶**	۰/۳۱**	۰/۴۳**	۰/۳۳**	۰/۲۳**
نخودآباد	۰/۳۱**	۰/۳۰**	۰/۲۳**	۰/۲۳**	۰/۲۳**	۰/۳۳**	۰/۳۱**	۰/۱۹**

**: معنی داری در سطح ۹۹ درصد

*: معنی داری در سطح ۹۵ درصد

جدول ۹: ماتریس ضریب همبستگی پیرسون بین شاخص SPI و SDI در بازه زمانی ۱۲ ماهه به صورت همزمان

تازه کند	مغانجیق	مراغه	خرمازرد	کهله‌کدره‌سی	فشلاق امیر	اسفستانج	چکان	ایستگاه
۰/۲۵**	۰/۳۷**	۰/۵۰**	۰/۴۳**	۰/۲۶**	۰/۴۵**	۰/۲۶**	۰/۳۸**	بناب
۰/۴۷**	۰/۴۵**	۰/۵۳**	۰/۴۷**	۰/۲۴**	۰/۵۰**	۰/۳۰**	۰/۲۲**	خرمازرد
۰/۳۱**	۰/۵۹**	۰/۵۳**	۰/۴۸**	۰/۲۷**	۰/۴۹**	۰/۲۸**	۰/۳۹**	خوشه مهر
۰/۱۹**	۰/۳۰**	۰/۳۵**	۰/۳۳**	۰/۱۲**	۰/۲۷**	۰/۲۸**	۰/۳۷**	زینجناب
۰/۳۹**	۰/۴۲**	۰/۵۵**	۰/۵۹**	۰/۲۶**	۰/۵۴**	۰/۳۱**	۰/۳۲**	شیرین‌کندي
۰/۴۴**	۰/۵۵**	۰/۶۲**	۰/۴۸**	۰/۲۸**	۰/۵۹**	۰/۳۰**	۰/۴۸**	فشلاق امیر
۰/۳۳**	۰/۴۴**	۰/۵۴**	۰/۵۱**	۰/۲۶**	۰/۴۸**	۰/۲۵**	۰/۴۲**	مراغه
۰/۲۲**	۰/۴۵**	۰/۵۶**	۰/۵۰**	۰/۳۴**	۰/۵۷**	۰/۳۳**	۰/۵۵**	مغانجیق
۰/۵۰**	۰/۵۳**	۰/۶۸**	۰/۶۳**	۰/۴۴**	۰/۶۵**	۰/۳۶**	۰/۳۱**	ملکان
۰/۳۶**	۰/۵۸**	**۰/۵۶	۰/۵۰**	۰/۳۳**	۰/۵۷**	۰/۳۸**	۰/۵۱**	نخودآباد

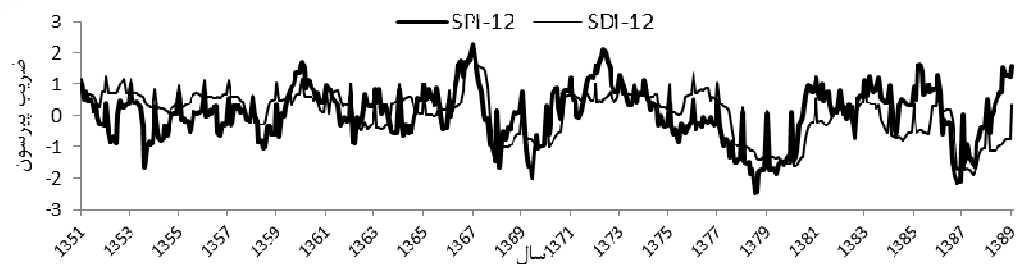
**: معنی داری در سطح ۹۹ درصد

جدول ۱۰: ماتریس ضریب همبستگی پیرسون بین شاخص SPI و SDI در بازه زمانی ۱۲ ماهه با تأخیر یک ماهه

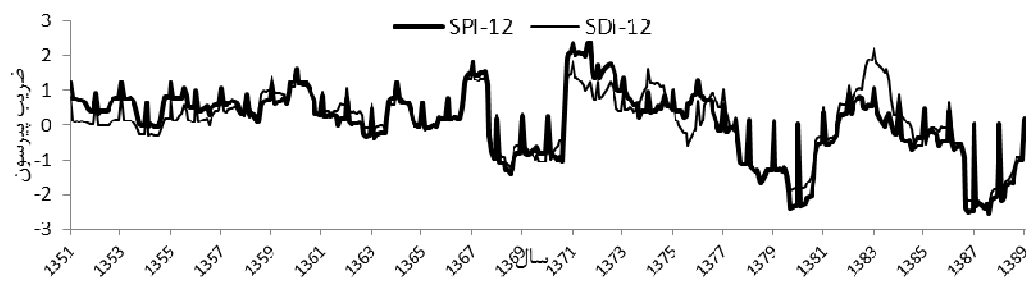
تازه کند	مغانجیق	مراغه	خرمازرد	کهله‌کدره‌سی	فشلاق امیر	اسفستانج	چکان	ایستگاه
۰/۲۰**	۰/۳۲**	۰/۴۶**	۰/۴۰**	۰/۲۲**	۰/۴۰**	۰/۲۲**	۰/۳۱**	بناب
۰/۴۳**	۰/۳۹**	۰/۴۸**	۰/۴۵**	۰/۲۱**	۰/۵۰**	۰/۲۶**	۰/۱۵**	خرمازرد
۰/۲۸**	۰/۵۳**	۰/۴۷**	۰/۴۵**	۰/۲۳**	۰/۴۳**	۰/۲۳**	۰/۳۲**	خوشه مهر
۰/۱۴**	۰/۲۳**	۰/۲۸**	۰/۲۷**	۰/۰۸	۰/۲۰**	۰/۲۱**	۰/۲۳**	زینجناب
۰/۳۳**	۰/۳۷**	۰/۵۰**	۰/۵۳**	۰/۲۳**	۰/۴۹**	۰/۲۶**	۰/۲۶**	شیرین‌کندي
۰/۳۹**	۰/۴۹**	۰/۵۶**	۰/۴۴**	۰/۲۳**	۰/۵۴**	۰/۲۴**	۰/۴۲**	فشلاق امیر
۰/۲۹**	۰/۳۹**	۰/۵۰**	۰/۴۸**	۰/۲۲**	۰/۴۳**	۰/۲۱**	۰/۳۵**	مراغه
۰/۱۸**	۰/۴۰**	۰/۵۲**	۰/۴۸**	۰/۳۰**	۰/۵۳**	۰/۳۰**	۰/۴۸**	مغانجیق
۰/۴۵**	۰/۴۸**	۰/۶۲**	۰/۵۸**	۰/۳۹**	۰/۵۹**	۰/۳۱**	۰/۲۴**	ملکان
۰/۳۱**	۰/۵۲**	۰/۵۲**	۰/۴۸**	۰/۲۹**	۰/۵۲**	۰/۳۰**	۰/۴۴**	نخودآباد

**: معنی داری در سطح ۹۹ درصد

بر اساس نتایج بدست آمده از آزمون پیرسون، رابطه زمانی بین وقوع خشکسالی هواشناسی و هیدرولوژیکی در سطح ۹۹ درصد معنی دار است که این همبستگی به صورت همزمان و سپس در تأخیرهای یک ماهه قوی‌تر از دیگر تأخیرهای زمانی دیده می‌شود. در واقع با وقوع خشکسالی هواشناسی در منطقه، در همان ماه نیز خشکسالی هیدرولوژیکی اتفاق افتاده است که در اشکال ۸ و ۹ این قضیه کاملاً مشهود می‌باشد.



شکل ۸: نمودار SPI و SDI ۱۲ ماهه برای حوضه صوفی‌چای



شکل ۹: نمودار SPI و SDI ۱۲ ماهه برای حوضه مردق‌چای

نتیجه گیری

به طور کلی بر اساس آزمونهای روندیابی، دبی رودخانه‌های حوضه صوفی‌چای و مردق‌چای روند نزولی را در طول دوره آماری مورد مطالعه داشته‌اند و همواره یک شیب کاهشی در دبی متوسط رودخانه‌ها وجود داشته که ممکن است بر اثر کاهش رژیم بارش و افزایش برداشت آبهای سطحی منطقه باشد؛ در حالی که بارش منطقه دارای نوسانات کاهشی و افزایشی در طول دوره آماری مورد مطالعه بوده است که با نتایج ملکی نژاد و سلیمانی مطلق (۱۳۹۰) مطابقت دارد. همچنین نتایج حاصل از نمایه‌های خشکسالی نشان داد که هر دو حوضه، خشکسالی‌های هواشناسی و هیدرولوژیکی را تجربه کردند. در این میان شمال غرب منطقه مورد مطالعه از نظر فراوانی و شدت وقوع خشکسالی، پتانسیل بیشتری را نشان داد که آگاهی از این امر می‌تواند به مدیران و برنامه‌ریزان برای مدیریت منابع آب کمک زیادی بکند. همچنین در طی سال‌های ۱۳۷۶-۷۹ و ۱۳۸۶-۸۹ به طور مشترک خشکسالی هواشناسی و هیدرولوژیک اتفاق افتاده که طولانی‌ترین خشکسالی‌ها نیز در این دو بازه زمانی بوده است. همچنین نتایج نشان داد که ارتباط معنی‌داری بین خشکسالی هواشناسی و هیدرولوژیکی در منطقه مورد مطالعه در سطح ۹۹ درصد وجود داشته است و رفتار دبی رودخانه، تابعی از میزان بارش در منطقه بوده است. در واقع با وقوع خشکسالی هواشناسی، خشکسالی هیدرولوژیکی نیز اتفاق افتاده است که این ارتباط به صورت همزمان و با یک ماه تاخیر، قوی‌تر بوده است که با نتایج مفیدی پور و همکاران (۱۳۹۱) مطابقت دارد.

منابع

- امیدوار، کمال و خسروی، یونس (۱۳۸۹). بررسی تغییر برجی عناصر اقلیمی در سواحل شمالی خلیج فارس با استفاده از آزمون کنдал. مجله جغرافیا و برنامه ریزی محیطی. ۲۱ (۳۸): ۴۶-۳۳.
- باعقیده، محمد؛ علیجانی، بهلول و ضیائیان، پرویز (۱۳۹۰). بررسی امکان استفاده از شاخص پوشش گیاهی NDVI در تحلیل خشکسالی‌های استان اصفهان. مطالعات جغرافیایی مناطق خشک. ۱ (۱۴): ۱۶-۱.
- بردی‌شیخ، واحد؛ بهره‌مند، عبدالرضا و موشخیان، یوسف (۱۳۹۰). مقایسه روند متغیرهای هیدرولوژیکی حوزه آبخیز اترک با استفاده از آزمون‌های ناپارامتری. مجله پژوهش‌های حفاظت آب و خاک. ۱۸ (۲).
- بنی‌مهد، ادیب و خلیلی، داور (۱۳۹۰). بررسی و مقایسه خشکسالی SPI و EDI در ایستگاه‌های منتخب استان مازندران. همایش منطقه‌ای دانش محوری در مدیریت پایدار کشاورزی و منابع طبیعی دانشگاه علوم کشاورزی و منابع طبیعی گرگان.
- حجام، سهراب؛ خوشخو، یونس؛ و شمس‌الدین‌وندی، رضا (۱۳۸۷). تحلیل روند تغییرات بارندگی‌های فصلی و سالانه چند ایستگاه منتخب در حوزه مرکزی ایران با استفاده از روش‌های ناپارامتری. پژوهش‌های جغرافیایی. ۶۴ (۶۴): ۱۶۸-۱۵۷.
- رضیئی، طیب؛ دانش کارآراسته، پیمان؛ اختنی، روح‌انگیز و نتفیان، بهرام (۱۳۸۶). بررسی خشکسالی‌های هواشناسی در استان سیستان و بلوچستان با استفاده از نمایه SPI و مدل زنجیره مارکف. تحقیقات منابع آب ایران. ۱ (۱۳): ۳۵-۲۵.
- ساری، الهه (۱۳۹۰). پایش خشکسالی هواشناسی به روشن SPI و تأثیر آن بر کشت گندم دیم در استان آذربایجان شرقی. پایان نامه کارشناسی ارشد. دانشکده علوم انسانی و اجتماعی. دانشگاه تبریز.
- صمدی‌بروجنی، حسین؛ و ابراهیمی، عطاالله (۱۳۸۹). پیامدهای خشکسالی و راههای مقابله با آن در استان چهارمحال بختیاری. گزارش مرکز تحقیقات منابع آب. دانشگاه شهرکرد. ۱۰-۱-۸۹ (۱۰): ۱۲-۱-۱۵.
- مفیدی‌پور، نازنین؛ بردی‌شیخ، اونق؛ و سعدالدین، ا (۱۳۹۱). بررسی رابطه خشکسالی هواشناسی و هیدرولوژیکی در حوضه آبخیز اترک. پژوهشنامه مدیریت حوضه آبخیز (۵): ۲۶-۱۶.
- ملکی‌زاد، حسین؛ و سلیمانی مطلق، مهدی (۱۳۹۰). بررسی شدت خشکسالی‌های هواشناسی و هیدرولوژیک در حوضه چغاندنی. مجله پژوهش آب ایران ۵ (۹): ۷۲-۶۱.
- میرعباسی نجف‌آبادی، رسول و دین‌پژوه، یعقوب (۱۳۸۹). تحلیل روند تغییرات آبدیهی رودخانه‌های شمال‌غرب ایران در سه دهه اخیر. نشریه آب و خاک. ۲۴ (۴): ۷۶۸-۷۵۷.
- میرموسوی، حسین؛ و کریمی، حمیده (۱۳۹۲). مطالعه اثر خشکسالی بر روی پوشش گیاهی با استفاده از تصاویر سنجنده MODIS موردن‌استان کرستان. جغرافیا و توسعه. ۱۱ (۳۱): ۷۶-۵۷.
- نگارش، حسین و کریمی، محمد (۱۳۹۰). بررسی تغییرات شدت خشکسالی سالانه ایستگاه‌های منطقه ایرانشهر در سال‌های آبی ۸۵-۱۳۷۶. پنجمین همایش ملی علوم و مهندسی آبخیزداری ایران.
- Chang, H. & Jung, I.W (2011). Climate Change Impact on Drought Risk and Uncertainty in the Willamette River Basin. Presented at The Oregon Water Conference. May 24-25.
- Dibike, Y. B. & Coulibaly, P (2005). Hydrologic impact of climate change in the Saguenay watershed:comparison of downscaling methods and hydrologic models. Journal of Hydrology. 307. 145-163.
- Edwards, D.C. & McKee, T.B (1997). Characteristics of 20th century drought in the United States at multiple time scales. Climatology Report 97-2. Atmospheric science. Colorado state university. 1-155.
- Lorenzo-Lacruz, J., Vicente-Serrano, S. M., Lopez-Moreno, J. I., Begueria, S., Garcia-Ruiz, J. M. & c, J. M. C (2010). The impact of droughts and water management on various hydrological systems in the headwaters of the Tagus River (central Spain). Journal of Hydrology. 386, 13-26.
- McKee, T.B., Doesken N.J. & Kleist J (1995). Drought monitoring with multiple time scale. Proceeding of the 9th Conference on Applied Climatology. Dallas. TX.USA. 233-236.

- Tabari, H., Nikbakht, J. & Hosseinzadeh Talaee, P (2013). Hydrological Drought Assessment in Northwestern Iran Based on Streamflow Drought Index (SDI). *Water Resource Manage.* 27. 137-151.
- Sellinger, E. C., Stow, C. A., Lamont, E. C. & Qian, S. S (2008). Recent Water Level Declines in the Lake Michigan-Huron System. *Environmental Science & Technology*. 42. 367–373.
- Yu, G. & Shen, H (2010). Lake water changes in response to climate change in northern China: Simulations and uncertainty. *Quaternary International*. 212. 44–56.

Study of trend and relationship between meteorological and hydrogeological droughts of Sufi Chai and Mordagh Chai watershed

Behrooz Sarisarraf¹, Abdoreza Vaezihir², Akram Valaei^{*3}, Vahideh Abtahi⁴

1- Professor of climatology, Faculty of Geographical Sciences, Tabriz University, Tabriz, Iran

2- Associate Professor of Geology, Faculty of G Geology Sciences, Tabriz University, Tabriz, Iran

3,4- Masters of Climatology, Faculty of Geographical Sciences, Tabriz University, Tabriz, Iran

Email: valaei3@yahoo.com

Received: 2015.01.31

Accepted: 2016.12.20

Abstract

Drought is a natural disaster, which its intensity and frequency of occurrence and the affected area and the amount of damage, is more important than other natural disasters. In this study, successive periods of meteorological and hydrological drought were investigated using SPI and SDI index in Sufi Chai and Mordagh Chai basins in the Southeast of Urmia Lake, and the time delay between the two occurrences was identified. Therefore, 10 rain gauges and 7 hydrometric station data was used. Range and area droughts in ArcGIS media were plotted according to the mean-square error minimum using methods of the kriging and IDW and also droughts trend was investigated by classic Mann-Kendall and modified Mann-Kendall droughts methods. The results showed that the occurrence of the two periods of severe and long-term meteorological drought has led to the simultaneous occurrence of hydrological drought in the basins. There is a significant correlation at 99% level between meteorological and hydrological droughts which is stronger for simultaneous occurrence and one month lag time. According to drought zoning maps, the Northwest region has more potential in the terms of frequency and severity of meteorological drought occurrence which is important in the water resources management.

Keywords: Drought, SPI index, SDI index, Sufi Chai, Mordagh Chai